

## معرفی الگوریتم SSPCO با استفاده از چندین مدل شبیه‌سازی جهت مکانیزم بهینه‌سازی

روح اله امیدوار<sup>۱\*</sup>، حمید پروین<sup>۲\*</sup>

<sup>۱</sup> عضو باشگاه پژوهشگران جوان و نخبگان، کارشناسی ارشد، واحد یاسوج، دانشگاه آزاد اسلامی، یاسوج، ایران، r.omidvar.uni@gmail.com  
<sup>۲</sup> عضو هیات علمی، دکترای تخصصی، واحد نورآباد ممسنی، دانشگاه آزاد اسلامی، نورآباد ممسنی، ایران، parvin@iust.ac.ir

### چکیده

بهینه‌سازی امروزه یکی از پرکاربردترین حوزه‌ها در علوم مختلف می‌باشد. الگوریتم‌های مختلفی برای حل این گونه مسایل ارائه شده است. شبیه‌سازی ابزاری است که دنیای واقعی را جهت اعمال الگوریتم بهینه‌سازی مهیا سازد. الگوریتم SSPCO یکی از جدیدترین الگوریتم‌های بهینه‌سازی می‌باشد. شبیه‌سازی الگوریتم‌ها نیز دارای چالش‌های بسیاری است که در ارائه الگوریتم به صورت موثر اهمیت دارد. متامدل‌ها رویکردی جهت مقابله با مشکل‌های شبیه‌سازی از جمله بار سنگین محاسبات و زمان اجرای بالای آن می‌باشد. متامدل خود دچار مشکلاتی نظیر این است که مدل شبیه‌سازی را از دنیای واقعی خود دور می‌کند. الگوریتم بهینه‌سازی SSPCO یکی از جدیدترین الگوریتم‌های فراابتکاری می‌باشد که از رفتار جوجه‌های پرنده تیهو الگوبرداری شده است. ما در این مقاله با استفاده از الگوریتم SSPCO سعی می‌کنیم ضمن حذف متامدل، زمان رسیدن به جواب بهینه را نیز کاهش دهیم. نتایج را در چهار روش اجرای الگوریتم آورده‌ایم که نتایج نشان می‌دهد که روش‌های جدید شبیه‌سازی توانسته با حذف متامدل زمان اجرا را کاهش دهد.

### کلیدواژه

الگوریتم SSPCO، شبیه‌سازی، متامدل، هزینه، زمان اجرا.

### مقدمه

ورودی مورد نظر ما حاصل می‌شود و با افزایش تکرار شبیه‌سازی‌ها با توجه به موضوع حد مرکزی به مقدار حدی خود همگرا می‌شود. در پژوهشی از یک سیستم بهینه‌سازی شبیه‌سازی برای سیستم‌های تولیدی، استفاده شده است [۱]. در یک تحقیق دیگر ترکیب شبیه‌سازی و شبکه عصبی برای بهینه‌سازی سیستم‌های صف پشت سر هم پیچیده استفاده شده است [۲]. در تحقیقی از شبیه‌سازی برای بهینه‌سازی مدیریت زنجیره تأمین استفاده شده است [۳]. در یک پژوهش دیگر از شبیه‌سازی برای بهینه‌سازی برنامه‌های بازرسی سیستم‌های تولیدی چندمرحله‌ای استفاده شده است [۴]. در تحقیقی برای مطالعه فرآیندها و تحلیل عملکرد سیستم در یک شرکت تأمین قطعات یدکی خودرو از شبیه‌سازی گسسته استفاده شده است [۵]. در پژوهشی برای تحلیل ریسک زمان پروژه‌ها از ترکیب شبیه‌سازی و مدل‌سازی سیستم‌های دینامیک استفاده شده است [۶]. مشکل اصلی در استفاده از رویکرد بهینه‌سازی از طریق شبیه‌سازی، زمانبر بودن پردازش محاسباتی لازم برای اجرای آن است. این موضوع از دو جهت ناشی می‌شود: زمانبر بودن اجرای هر فرآیند شبیه‌سازی و لزوم تکرارهای متعدد شبیه‌سازی به ازای هر ورودی مفروض. به

بهینه‌سازی یک رویکرد ریاضی می‌باشد که معمولاً منظور از بهینه‌سازی یک سامانه کمینه یا بیشینه کردن تابعی است که این تابع معیاری از عملکرد سامانه می‌باشد. این عمل در نهایت به بهبود کارایی سامانه می‌انجامد. در شرایطی که سایر روش‌های بهینه‌سازی قادر به در نظر گرفتن محدودیت‌های حاکم بر مسئله نباشند، بهینه‌سازی از طریق شبیه‌سازی می‌تواند راهگشا باشد. در مسائلی که طبیعت احتمالی دارند و روش‌های ریاضی‌وار همانند نظریه صف، قادر به مدل‌سازی مسئله نباشد، شبیه‌سازی به صورت وسیع استفاده می‌شود. در رویکرد بهینه‌سازی از طریق شبیه‌سازی، از شبیه‌سازی برای محاسبه مقدار تابع هدف مسئله و در عین حال در نظر گرفتن شرایط و محدودیت‌های مسئله استفاده می‌شود. متغیرهای تصمیم مسئله در قالب ورودی به شبیه‌سازی داده می‌شود و با اجرای فرایند شبیه‌سازی، مقدار تابع هدف مسئله به عنوان خروجی حاصل از شبیه‌سازی تعیین می‌شود. با توجه به طبیعت احتمالی مسئله، اجراهای مختلف شبیه‌سازی نتایج متفاوتی به دست می‌دهد و آنچه مدنظر ما است، میانگین این نتایج است. این مقدار میانگین، نتیجه انتظاری است که از

عنوان یک ذره از مسئله تحت بهینه در نظر گرفته می شود. حال هر ذره را باید طبق رفتار این نوع جوجه‌ها در یک صف منظم که می‌دانیم این صف ما را به بهترین نقطه بهینه می‌برد قرار دهیم و این به معنای کوچک کردن فضای جستجو نیست بلکه همگرا کردن ذرات پس از مدتی جستجو در قالب یک صف منظم به سمت بهترین نقطه جواب (پرنده مادر) می‌باشد. در زمان تکرارها و حرکت ذرات، ذرات را به سمت صفی رهنمون می‌سازیم که در این صف ذره مادر (پرنده مادر) در جلو صف به سمت جواب بهینه در حال حرکت می‌باشد. برای این کار با تنظیم یک معادله حرکت و سرعت برای ذرات، ذرات آنقدر در صف‌های گوناگون قرار می‌گیرند و از آن جدا می‌شوند تا به بهترین صفی که آن صف حتماً به سمت جواب بهینه در حال حرکت است ملحق می‌شوند. در معادله سرعت و حرکت، هر ذره حرکت و سرعت خود را دقیقاً و فقط بر اساس ذره‌ای که یک واحد از خود بالاتر است تنظیم می‌کند. برای این کار یک متغیر برای هر ذره به نام متغیر اولویت در نظر می‌گیریم:

$$X_i \cdot priority \quad (1)$$

در هر بار ارزیابی وقتی ذره‌ای از بهترین تجربه شخصی یا بهینه محلی بهتر بود یک واحد به متغیر اولویت آن ذره اضافه می‌گردد:

$$\text{if } X_i \cdot cost > P_{best} \rightarrow X_i \cdot P_{best \cdot cost} = X_i \cdot position \text{ and } X_i \cdot priority = X_i \cdot priority + 1 \quad (2)$$

$X_i \cdot cost$  هزینه هر ذره در تابع بنچمارک می‌باشد،  $P_{best}$  بهترین تجربه شخصی هر ذره می‌باشد و  $X_i \cdot position$  مکان هر ذره است. در هر بار ارزیابی اگر بهینه محلی بهتر از بهینه عمومی باشد و بالعکس متغیر اولویت ذره بالاتر می‌رود و یک واحد به آن اضافه می‌گردد:

$$\text{if } P_{best \cdot cost} > G_{best \cdot cost} \rightarrow G_{best \cdot position} = P_{best \cdot position} \text{ and } X_i \cdot priority = X_i \cdot priority + 1 \quad (3)$$

$G_{best}$  بهینه عمومی است. معادله حرکت هر ذره تقریباً شبیه به الگوریتم توده ذرات به شکل فرمول ۴ تنظیم می‌شود:

$$X_i \cdot position = X_i \cdot position + X_i \cdot velocity \quad (4)$$

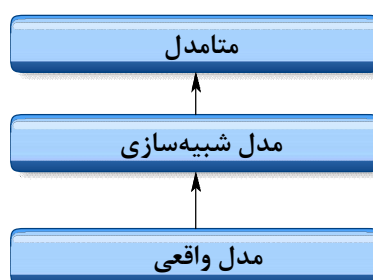
$X_i \cdot velocity$  سرعت هر ذره یا جوجه می‌باشد. حال معادله سرعت ذره طبق فرمول ۵ محاسبه می‌شود:

$$X_i \cdot velocity = w * X_i \cdot velocity + c * rand(0,1) * [position(X_i \cdot priority + 1) - X_i \cdot position] \quad (5)$$

$X_i \cdot velocity$  سرعت ذره می‌باشد،  $w$  ضریب تاثیرگذاری

سرعت قبل در معادله سرعت کنونی ذره می‌باشد،  $c$  فاکتور

همین منظور استفاده از متامدل‌ها در کنار رویکرد بهینه‌سازی از طریق شبیه‌سازی مرسوم است. متامدل فضای جواب پیچیده مسئله اصلی را به صورتی ساده‌تر مدل می‌کند. شبیه‌سازی، مسائل دنیای واقعی را در سطحی ساده‌تر و البته با تفاوت‌هایی مدل می‌کند. به عبارتی شبیه‌سازی قادر نیست دنیای واقعی را به همان صورتی که هست، مدل کند. در سطحی بالاتر، متامدل قرار دارد. متامدل، مدل شبیه‌سازی را بار دیگر مدل می‌کند؛ از پیچیدگی‌های آن می‌کاهد و در عین حال مدل را باز هم بیشتر از حالت واقعی دور می‌کند. این ارتباطات در شکل (۱) نمایش داده شده است.



شکل ۱. شماتیک ارتباط مدل‌های واقعی، شبیه‌سازی و متامدل

برای آنکه شناخت بهتری از متامدل‌ها به دست آورد می‌توان به منابع نوار رگرسوینی تطبیقی چند متغیره [۷-۱۱]، کریگینگ [۱۲-۱۴]، تابع پایه شعاعی [۱۵-۱۹]، شبکه عصبی مصنوعی [۲۰-۲۳] و همچنین ماشین بردار پشتیبان [۲۴-۲۹] مراجعه کرد. الگوریتم ارائه شده در این مقاله بر اساس الگوریتم بهینه‌سازی SSPCO است که توانایی جستجو در فضای جواب احتمالی را دارد. ساختار این مقاله به این ترتیب تنظیم گردیده است که بعد از مقدمه، بخش ۲ الگوریتم SSPCO معرفی شده است، سپس در بخش ۳، ۴، ۵ و ۶ الگوریتم را در رویکردهای متفاوت شبیه‌سازی کرده، در بخش ۷ توابع سنجشی را معرفی می‌کنیم. در بخش ۸ نتایج را خواهیم دید و در پایان در بخش ۹ به نتیجه‌گیری خواهیم پرداخت.

### الگوریتم بهینه‌سازی SSPCO

ایده پایه ای این الگوریتم بهینه‌سازی از رفتار جوجه‌های یک نوع پرنده وحشی به نام تیهو گرفته شده است [۳۰]. جوجه‌های این نوع پرنده در هنگام احساس خطر برای رسیدن به یک نقطه امن در یک صف منظم قرار گرفته و درست در یک صف منظم پشت سر پرنده مادر شروع به حرکت می‌کنند تا به یک نقطه امن برسند. برای شبیه‌سازی رفتار جوجه‌های این پرنده در قالب یک الگوریتم بهینه‌سازی، هر جوجه به

جدید بهینه محلی خود شود، باید یک واحد به متغیر اولویت آن اضافه گردد، در خطوط ۱۱، ۱۲ و ۱۳ همین مورد برای یافتن بهینه عمومی تکرار شده است. در خط ۱۹ معادله سرعت و در خط ۲۰ معادله حرکت ذره برای رفتن به مکان جدید اعمال شده است. در خط ۲۴ با انجام یک سری از اعمال قبل یک واحد به تعداد تکرار الگوریتم اضافه شده و در خط ۲۵ شرط پایان تکرار تعیین شده برای الگوریتم آمده است. در الگوریتم SSPCO به دلیل حرکت سلسله‌مراتبی ذرات به دنبال یکدیگر با مشکل پوشش بیشتر فضای جستجو برای مسائلی که احتیاج به پوشش وسیع فضای مسئله دارد، روبرو خواهد بود. لذا ما با تقسیم جمعیت به چند زیرجمعیت سعی خواهیم کرد که همان مکانیزم الگوریتم SSPCO را در فضاهای مختلف از فضای جستجو انجام دهیم و سپس بهترین ذرات در هر زیرجمعیت را با هم در یک ارزیابی قرار دهیم.

### رویکرد مستقیم

در رویکرد مستقیم، در مرحله تعیین مقادیر تابع هدف برای ذرات با توجه به فضای احتمالی مسئله، 20 تا 100 بار شبیه‌سازی در مکان هر ذره انجام می‌گیرد و از نتایج آنها میانگین گرفته و به عنوان مقدار تابع هدف آن ذره ثبت می‌کنیم. با افزایش تعداد شبیه‌سازی‌های انجام گرفته در مکان هر ذره، با توجه به قانون حد مرکزی به مقدار واقعی تابع هدف در آن نقطه بیشتر نزدیک می‌شویم. شکل (۳) دیاگرام رویکرد بهینه‌سازی از طریق شبیه‌سازی را نمایش می‌دهد. در شکل (۴) دیاگرام روش میانگین‌گیری آمده است که در آن مشاهده می‌شود بعد از حرکت ذرات در فضای مسئله عمل میانگین‌گیری صورت پذیرفته است.

اجتماعی می‌باشد که در الگوریتم توده ذرات نیز آمده است،  $rand()$  یک عدد تصادفی در بازه ۰ و ۱ برای ایجاد حرکت تصادفی ذرات است، در ضمن معادله  $[position(X_i, priority + 1)]$  موقعیت مکانی ذره با اولویت یکی بالاتر از ذره کنونی می‌باشد که ذره کنونی سعی می‌کند سرعت خود را بر اساس این ذره تنظیم نماید،  $X_i, position$  نیز مکان فعلی ذره می‌باشد. مشاهده می‌شود طبق معادله ۵ هر ذره دقیقاً حرکت خود را بر اساس ذره‌ای با اولویت یکی بالاتر از خود تنظیم می‌کند بدین صورت که دیگر کاری به بهینه‌های محلی و عمومی ندارد و در هر لحظه از زمان ذرات فقط و فقط به دنبال حرکت می‌کنند که در فضای جستجو از آن ذره یک واحد جلوتر باشد و به همین خاطر تعداد و زمان محاسبات در این الگوریتم نسبت به الگوریتم‌های گذشته بهینه‌سازی دارای سودمندی بالایی می‌باشد. ذرات طبق این معادله این قدر حرکت می‌کنند تا ذره‌ای را که به‌عنوان ذره مادر است به جواب بهینه هدایت کنند و بقیه ذرات پشت سر این ذره به سمت جواب بهینه حرکت کنند.

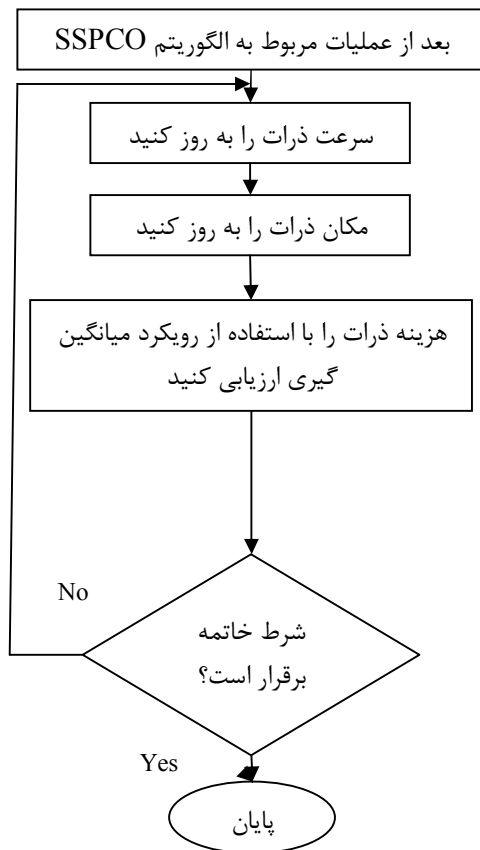
```

1.//initialize all chicken
2.Initialize
3.Repeat
4. For each chicken i
5. //update the chicken's best position and priority
6. If  $f(x_i) > f(pb_i)$  then
7.  $pb_i = x_i$ 
8.  $priority_i = priority_i + 1$ 
9. End if
10. //update the global best position and priority
11. If  $f(pb_i) > f(gb)$  then
12.  $gb = pb_i$ 
13.  $priority_i = priority_i + 1$ 
14. End if
15. End for
16. //update chicken's velocity and position
17. For each chicken i
18. For each dimension d
19.
 $v_{i,d} = v_{i,d} + C * Rand(0, 1) * [position(priority_{i+1}) - x_{i,d}]$ 
20.  $x_{i,d} = x_{i,d} + v_{i,d}$ 
21. End for
22. End for
23. //advance iteration
24.  $it = it + 1$ 
25.Until  $it > MaxIterations$ 

```

شکل ۲. شبه‌کد الگوریتم بهینه‌سازی SSPCO [۳۰]

در شکل ۲ که شبه‌کد الگوریتم SSPCO ارائه شده است، پس از جمعیت‌دهی اولیه در خطوط ۶ و ۷ تعیین بهینه محلی آمده است. در خط ۸ تاکید شده در صورت این که یک ذره در مکان

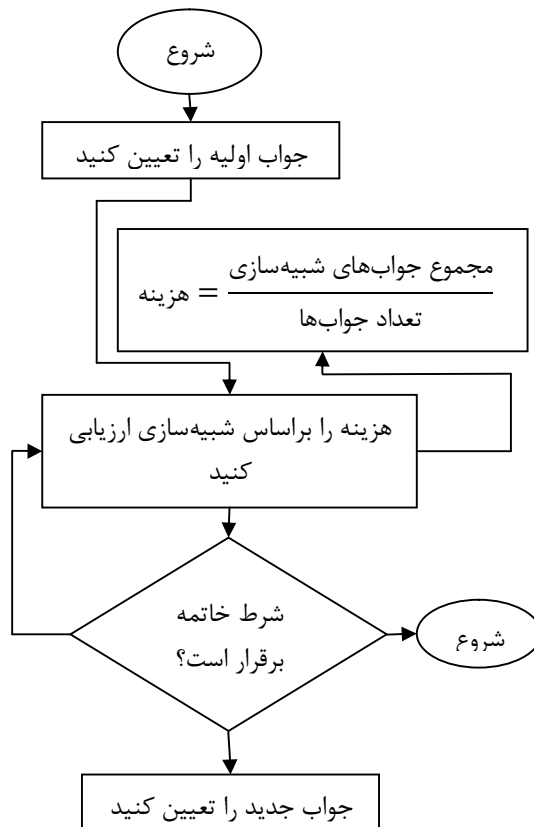


شکل ۴. دیاگرام رویکرد میانگین گیری

همسایه هر ذره را تعیین می‌کنیم و مقادیر حاصل از شبیه سازی مربوط به ذرات همسایه میانگین گرفته و عدد حاصله به عنوان مقدار تابع هدف آن ذره در نظر گرفته می‌شود. از آنجا که مقدار تابع هدف در نقاط بسیار دور از نقطه مورد نظر در مقدار تابع هدف آن تأثیری ندارد و تغییرات وسیع تابع در این بازه بلند مانع از آن می‌شود که بتوان از آن استفاده کرد، باید محدوده‌های برای ذره تعریف شود که فقط ذرات در آن محدوده در میانگین گیری شرکت خواهند داشت. جواب جدید هزینه مکان جدیدیست که ذره با استفاده از معادله حرکت ذرات به آنجا منتقل شده است، می‌باشد. این رابطه را به شکل معادله ۶ بیان می‌شود.

$$f_i^- = \frac{1}{m} \sum_{j=|x_i-x_j| \leq d_{max}} f_j^- \quad (6)$$

در این معادله  $d_{max}$  بیشترین فاصله‌ای است که ذرات در آن فاصله از ذره مورد نظر در میانگین گیری برای حصول مقدار تابع هدف شرکت می‌کنند و  $m$  تعداد کل ذراتی است که شرط فاصله در آنها صدق می‌کند.



شکل ۳. دیاگرام روش رویکرد بهینه سازی از طریق شبیه سازی در حالت مستقیم

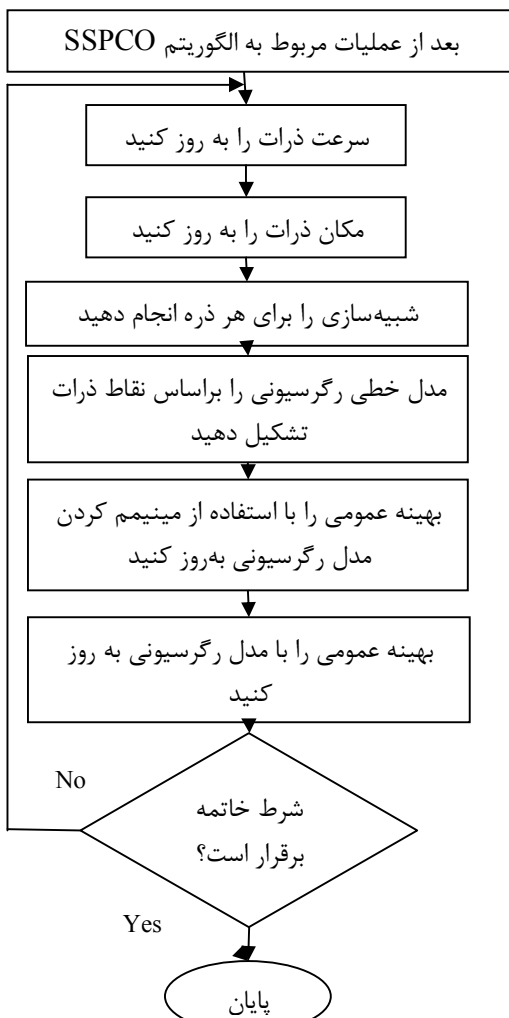
یکی از مشکلات استفاده از رویکرد مستقیم این است که اجرای شبیه سازی زمان بر است و یکی دیگر از مشکلات رویکرد مستقیم این است که نیاز به شبیه سازی‌های مکرری وجود دارد تا به خروجی واقعی نزدیک شویم، ما در این مقاله سعی بر حذف این مورد داریم.

### رویکرد میانگین گیری

در این روش به جای شبیه سازی‌های متوالی در یک نقطه برای رسیدن به مقدار تابع هدف، از میانگین گیری موضعی در آن منطقه استفاده می‌کنیم. به عبارتی هدف آن است که ذرات مقدار تابع خود را در فضای احتمالی با کمک از ذرات اطراف خود به دست آورند. برای همه ذرات یک بار شبیه سازی انجام می‌گیرد و نتایج ذخیره می‌شود. از آنجا که فقط یک مرتبه شبیه سازی انجام گرفته است، خطای جواب‌های به دست آمده زیاد خواهد بود. در مرحله بعد برای تصحیح این خطاها از رویکرد میانگین گیری استفاده می‌شود.

### شبیه‌سازی با متامدل دینامیک

روش کار در استفاده از متامدل رگرسیونی، تعیین پایه‌های فضا (تعیین نقاطی از فضا که از روی آنها مدل رگرسیونی ساخته می‌شود) و سپس به دست آوردن نقطه بهینه در فضای متامدل ایجاد شده است. در این رویکرد، ما پایه‌های فضا را روی ذرات الگوریتم جستجو پیاده می‌کنیم. در این رویکرد از نقطه بهینه متامدل به عنوان بهینه عمومی الگوریتم SSPCO استفاده می‌شود. در هر گام ذرات در نقاط جدید قرار گرفته، سپس متامدل به‌روز می‌شود. در شکل (۶) دیاگرام رویکرد متامدل دینامیک روی الگوریتم SSPCO را خواهیم دید.



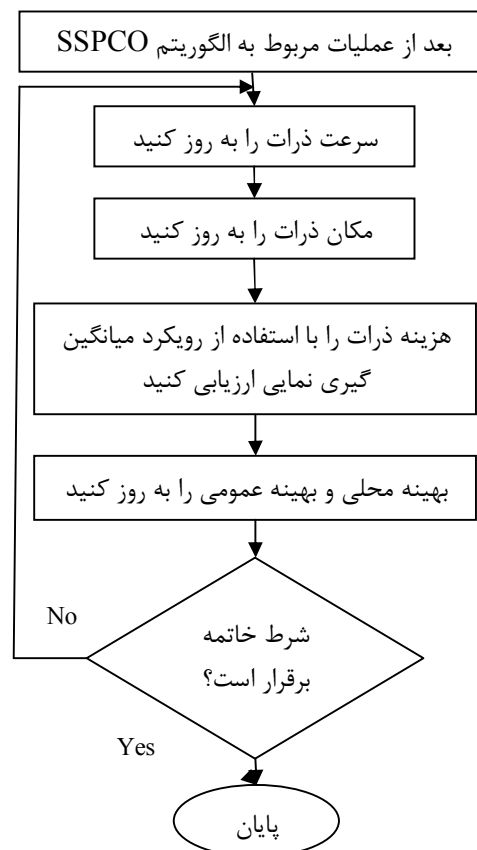
شکل ۶. دیاگرام رویکرد متامدل دینامیک

### رویکرد میانگین‌گیری نمایی

در این روش هم مانند روش قبیل میانگین‌گیری جای شبیه‌سازی مکرر را گرفته است. در موقعیت مکانی هر ذره یک بار شبیه‌سازی انجام گرفته و سپس معادله ۷ محاسبه می‌گردد.

$$f_i^- = f_{max}^{\wedge} - \frac{1}{n} \sum_{j=1}^n (f_{max}^{\wedge} - f_j^{\wedge}) e^{-k|x_i - x_j|} \quad (7)$$

در این معادله حداکثر مقدار تابع هدفی است که در شبیه‌سازی بدست آمده است و  $n$  تعداد ذرات می‌باشد، همچنین  $k$  ضریبی است که با توجه به مسئله مورد نظر تعیین می‌گردد. در اینجا به تعداد  $n$  نقاط جرمی روی یک صفحه قرار دارند. نقاطی که تابع هدف آنها کمتر باشد، جرم بیشتری نسبت به بقیه دارند. روشهای میانگین‌گیری در توابع هموار بهتر عمل می‌کنند. دیاگرام مربوط به شکل (۵) روش میانگین‌گیری نمایی را نشان می‌دهد که در آن هزینه ذرات بعد از جایجایی ذرات در فضا ارزیابی شده و سپس بهینه‌های محلی و عمومی به روز می‌شوند.



شکل ۵. دیاگرام رویکرد میانگین‌گیری نمایی

### توابع سنجشی

نتایج شبیه سازی را براساس توابع زیر انجام داده ایم.

**F1:** تابع سینوسی

$$\min f(x) = x_1 \sin(x_2) + x_2 \sin(x_1) \quad (8)$$

$$-2\pi \leq x_1 \leq 2\pi$$

$$-2\pi \leq x_2 \leq 2\pi$$

**F2:** تابع نامتقارن

$$\min f(x) = \sum_{i=1}^8 [2^{x_i-4} + (6 - x_i)] \quad (9)$$

برای هر یک از مسائل تعریف شده در بالا، چندین تابع توزیع نرمال تعریف شده است که نقش ماهیت احتمالی مسائل مطرح شده در رویکرد بهینه سازی از طریق شبیه سازی را بازی میکنند. این توابع در جدول (۱) آمده اند.

جدول ۱. توابع توزیع نرمال

Error Functions			
		1.Small Error	2.Large Error
Problems	F1	$\eta \sim N(0,1)$	$\eta \sim N(0,5)$
	F2	$\eta \sim N(0,7)$	$\eta \sim N(0,35)$

رویکرد مستقیم روی هر مسئله، با یکی از تابع خطای 20 بار پیاده میانگین جوابها در ادامه ارائه شده است. تعداد تکرار شبیه سازی در هر نقطه مفروض 25 بار است که از میانگین آن به عنوان مقدار تابع هدف در آن نقطه استفاده شده است.

### نتایج

هر یک از رویکردهای ارائه شده را روی مسائل تعریف شده با خطاهای مختلف پیاده کرده ایم. این کار برای هر یک از حالات مورد بررسی 25 بار تکرار شده و نتایج در قالب میانگین و بهترین جواب حاصله ارائه شده است. توجه شود که در این رویکرد، برای محاسبه مقدار تابع هدف هر ذره، فقط یک بار شبیه سازی انجام میگیرد. در جدول ۲ نتایج حاصل از اجرای روش مستقیم روی مسائل آزمونی را داریم. نتایج را در سه بخش میانگین هزینه (Mean)، بهترین هزینه (Best) و زمان اجرای پردازنده (Cpu Time) و روی ۲ تابع سینوسی (F1) و تابع نامتقارن (F2) در ۲ بخش تابع خطای کوچک (Error Functions 1) و تابع خطای بزرگ (Error Functions 2) آورده ایم. همه موارد گفته شده با پیاده سازی مدل های مذکور با

الگوریتم بهینه سازی توده ذرات نیز مقایسه شده است تا میزان

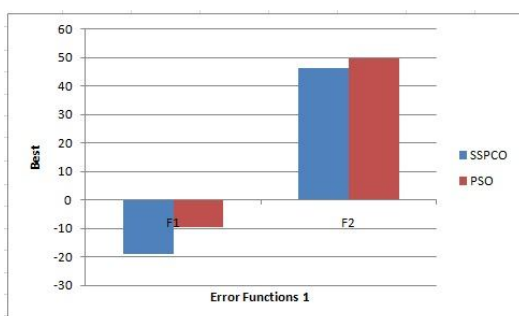
اتکا به الگوریتم SSPCO نیز مشخص گردد.

جدول ۲. نتایج استفاده از روش مستقیم با ۲۵ بار تکرار

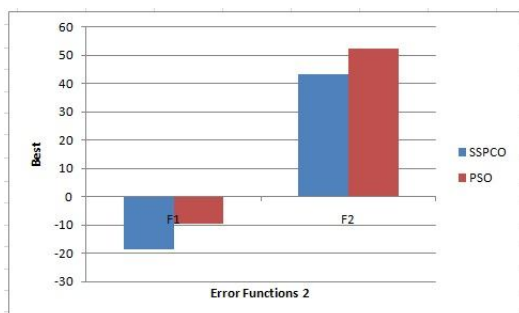
Error Functions 1				
		Mean	Best	Cpu Time
F1	SSPCO	-18.29	-18.93	2.13
F2		42.32	46.18	2.05
F1	PSO	-9.59	-9.62	2.34
F2		46.74	49.55	2.70

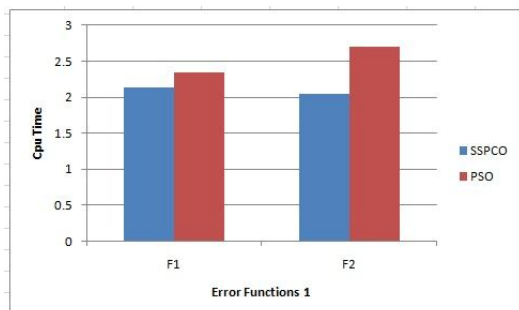
Error Functions 2				
		Mean	Best	Cpu Time
F1	SSPCO	-19.35	-18.78	1.98
F2		49.81	43.31	2.19
F1	PSO	-9.41	-9.62	2.36
F2		51.48	52.40	2.82



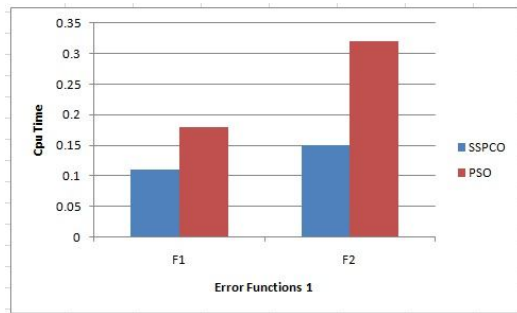
شکل ۶. بهترین هزینه برای روش مستقیم و تابع خطای کوچک



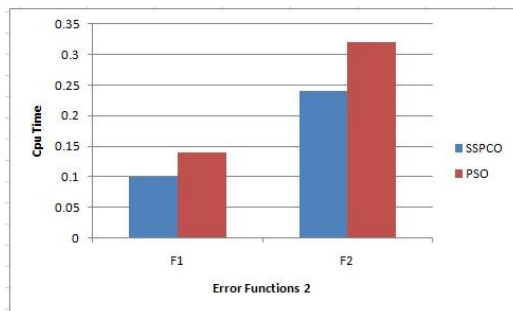
شکل ۷. بهترین هزینه برای روش مستقیم و تابع خطای بزرگ



شکل ۸. زمان اجرا برای روش مستقیم و تابع خطای کوچک



شکل ۱۲. زمان اجرا روش میانگین گیری و تابع خطای کوچک



شکل ۱۳. زمان اجرا روش میانگین گیری و تابع خطای کوچک

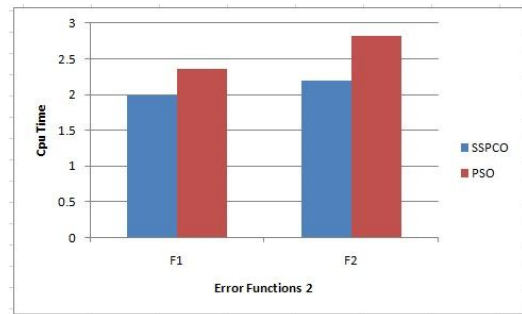
نتایج در رویکرد میانگین گیری نشان می دهد کیفیت نتایج نسبت به رویکرد مستقیم پایین تر ولی زمان اجرای بهتری را داشته است. در جدول ۴ نتایج در روش میانگین گیری نمایا آمده است که نشان می دهد در تابع ۲ نسبت به روش میانگین گیری نتایج کیفیت بهتری دارد ولی نسبت به روش مستقیم همچنان کیفیت نتایج پایین تر است.

جدول ۴. نتایج در روش میانگین گیری نمایا

Error Functions 1				
		Mean	Best	Cpu Time
F1	SSPCO	-16.28	-18.41	0.09
F2		43.28	46.15	0.10
F1	PSO	-8.41	-9.57	0.18
F2		32.07	26.23	0.32

Error Functions 2				
		Mean	Best	Cpu Time
F1	SSPCO	-14.05	-18.48	0.11
F2		40.27	40.09	0.21
F1	PSO	-8.65	-9.06	0.17
F2		41.48	55.17	0.26



شکل ۹. زمان اجرا برای روش مستقیم و تابع خطای کوچک

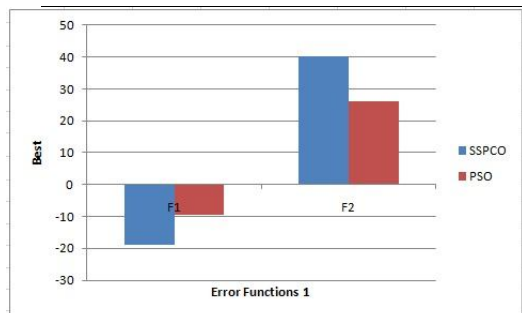
نتایج روش مستقیم در الگوریتم SSPCO نشان می دهد کیفیت نتایج در مسایل Small Error (F1) بهتر بوده ولی در مسائل Large Error (F2) زمان اجرای کمتری داشته ایم.

جدول ۳. نتایج استفاده از رویکرد میانگین گیری

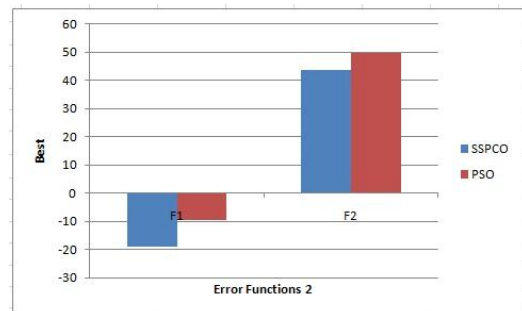
Error Functions 1				
		Mean	Best	Cpu Time
F1	SSPCO	-16.82	-18.74	0.11
F2		44.51	40.21	0.15
F1	PSO	-8.41	-9.57	0.18
F2		32.07	26.23	0.32

Error Functions 2				
		Mean	Best	Cpu Time
F1	SSPCO	-14.29	-18.94	0.10
F2		40.21	43.65	0.24
F1	PSO	-6.86	-9.61	0.14
F2		49.66	49.72	0.32



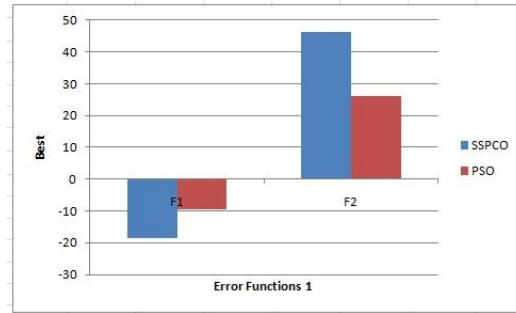
شکل ۱۰. بهترین هزینه روش میانگین گیری و تابع خطای کوچک



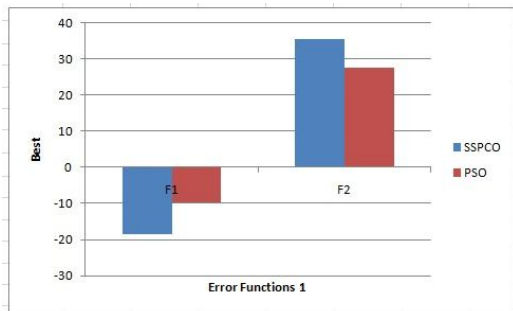
شکل ۱۱. بهترین هزینه روش میانگین گیری و تابع خطای بزرگ

جدول ۵. نتایج در روش متامدل دینامیک

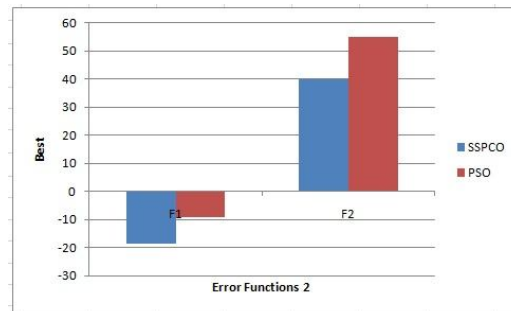
Error Functions 1				
		Mean	Best	Cpu Time
F1	SSPCO	-18.65	-18.49	0.11
F2		40.35	35.64	0.22
F1	PSO	-9.45	-9.60	0.21
F2		35.23	27.68	0.31
Error Functions 2				
		Mean	Best	Cpu Time
F1	SSPCO	-18.55	-18.49	0.15
F2		40.47	40.56	0.23
F1	PSO	-9.12	-9.45	0.23
F2		46.13	56.01	0.33



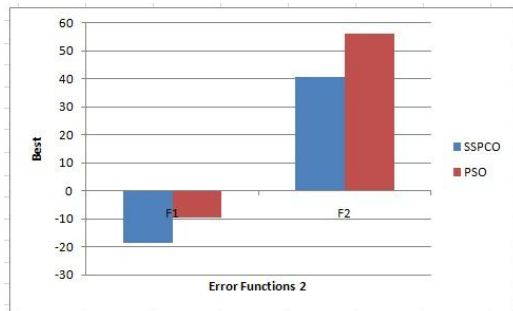
شکل ۱۴. بهترین هزینه روش میانگین گیری نمایی و تابع خطای کوچک



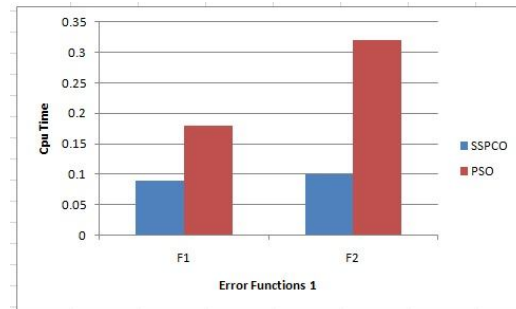
شکل ۱۸. بهترین هزینه روش میانگین گیری و تابع خطای کوچک



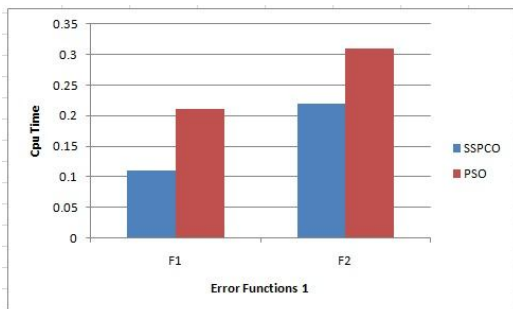
شکل ۱۵. بهترین هزینه روش میانگین گیری نمایی و تابع خطای بزرگ



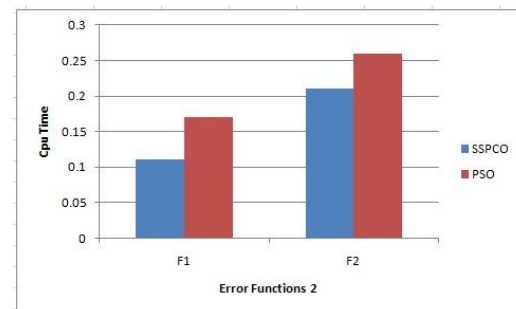
شکل ۱۹. بهترین هزینه روش دینامیک و تابع خطای بزرگ



شکل ۱۶. زمان اجرا روش میانگین گیری نمایی و تابع خطای کوچک

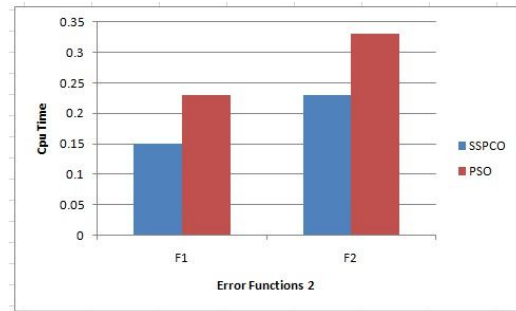


شکل ۲۰. زمان اجرا روش دینامیک و تابع خطای کوچک



شکل ۱۷. زمان اجرا روش میانگین گیری نمایی و تابع خطای کوچک

در این مقاله الگوریتم SSPCO که از رفتار جوجه‌های پرنده تیهو در هنگام خطر الگوبرداری شده است را شبیه‌سازی گردید. این الگوریتم در این مقاله طوری پیاده‌سازی گردید که با حذف متامدل‌های کلاسیک زمان دستیابی به جواب‌های بهینه را کاهش دهد. در شبیه‌سازی این الگوریتم سه روش میانگین-گیری، روش میانگین‌گیری نمایی و متامدل دینامیک ارائه شد و برای بررسی کارایی آنها، دو مسئله بهینه‌سازی مطرح و روش‌ها روی آنها پیاده شدند. اگرچه کیفیت نتایج به دست آمده از روش‌های ارائه شده از کیفیت جواب‌های حاصل از روش مستقیم کمتر بود، ولی زمان لازم برای رسیدن به جواب‌ها به مراتب کمتر بود که این موضوع، استفاده از این روش‌ها را توجیه می‌کند. در حقیقت هدف اصلی که شبیه‌سازی الگوریتم SSPCO با روش‌های فوق برای حذف متامدل دنبال می‌شد، محقق گردید برای کارهای آینده می‌توان نسبت به اعمال مکانیزم‌های یادگیری ذرات در الگوریتم SSPCO متمرکز شد.



شکل ۲۱. زمان اجرا روش دینامیک و تابع خطای کوچک

نتایج در روش متامدل نسبت به روش مستقیم توانسته در زمان اجرای کمتری انجام گردد، گرچه نسبت به روش مستقیم کیفیت نتایج پایین‌تر است و این کیفیت نتایج در روش متامدل نسبت به دو روش میانگین‌گیری و میانگین‌گیری میانی پایین‌تر است. زمان اجرای بهتری نسبت به روش میانگین‌گیری داشته است. کیفیت نتایج الگوریتم SSPCO در همه موارد به جز در تابع F2 روش متامدل دینامیک نسبت به الگوریتم سنتی PSO بهتر بوده و از مقدار زمان کمتری نیز برای شبیه‌سازی برخوردار بوده است.

## نتیجه‌گیری

- (Technical note)." *Journal of Industrial Engineering*, Vol. 45, No.1, PP. 95-102, 2001.
- E. Hassan Nayebe, B. Kiyani, "Combination of Monte Carlo Simulation and System Dynamics Modeling for Project Time Risk Analysis." *Journal of Industrial Engineering*, Vol. 44, No.2, PP. 169-180, 2010.
  - J.H. Friedman, "Multivariate adaptive regression splines." *Annals Statistics*, PP. 1-67, 1991.
  - V. Pilla, J. M. Rosenberger, V. Chen, N. Engsuwan, S. Siddappa, "A multivariate adaptive regression splines cutting plane approach for solving a two-stage stochastic programming fleet assignment model." *European Journal of Operational Research*, Vol. 216, No. 1, PP. 162-171, 2002.
  - F. Vidoli, "Evaluating the water sector in Italy through a two stage method using the conditional robust nonparametric frontier and multivariate adaptive regression splines." *European Journal of Operational Research*, Vol 212, No.3, PP. 583-595, 2011.
  - M. Durmaz, M O. Karslioglu, "Non-parametric regional VTEC modeling with Multivariate Adaptive Regression B-Splines." *Advance in*

## مراجع

- Y. Guo, W. Liao, X. Cheng, L. Liu, "SimOpt: A new simulation optimization system based virtual simulation for manufacturing system." *Simulation Modeling Practice and Theory*, Vol. 14, No. 5, PP. 577- 85, 2006.
- A. Azadeh, Z. Faiz, S.M. Asadzadehand, R. Tavakkoli, "Simulation optimization using particle swarm optimization algorithm with application to assembly line design." *Applied Soft Computing*, Vol 11, No. 1, PP 605-613, 2011.
- X. Wan, J. F. Pekny, G. V. Reklaitis, "Simulation-based optimization with surrogate models application to supply chain management" *Computers and Chemical Engineering*, Vol. 29, No. 6, PP. 1317- 1328, 2005.
- A. Vaghefi, V. Sarhangian, "Contribution of simulation to the optimization of inspection plans for multi-stage manufacturing systems." *Computers & Industrial Engineering*, Vol. 57, No. 4, PP. 1226-1234, 2009.
- M R. Memar Jafari, Z S. Gatmiry, M. Khakzar Bafrouei, "A Discrete Simulation Analysis of Customer Order Supply System: A Case Study

- Artificial Intelligence*, Vol. 16, No. 3, PP. 177-183, 2003.
21. D J. Fonseca, D. Navarrese, "Artificial neural networks for job shop simulation." *Advanced Engineering Informatic.*, Vol. 16, No. 4, PP. 241-246, 2007.
  22. M S. Mirtalaie, M A. Azadeh, M. Saberi, A. Ashjari, " A Trust-based Credit Scoring Model Using Neural Network." *Journal of Endustrial Engineering*, Vol. 46, No. 1, PP. 91-104, 2012.
  23. M. Khashei, M. Bijari, " Gold price forecasting using hybrid artificial neural networks with fuzzy regression model." *Journal of Endustrial Engineering*, Vol. 44, No. 1, 2012.
  24. S M. Clarke, J H. Griebisch, T W. Simpson, "Analysis of support vector regression for approximation of complex engineering analyses." *Journal of Mechanical Design*, Vol. 127, No. 6, PP. 1077- 1078, 2005.
  25. T. Eitrich, B. Lang, "Efficient optimization of support vector machine learning parameters for unbalanced datadets." *Journal of Computational and Applied Mathematics.*, Vol. 196, No. 2, PP. 425-436, 2005.
  26. A. Haldun, S. Serpil, "Using support vector machine to learn the efficient set in multiple objective discrete optimization." *European journal of operation research*, Vol. 193, No.2 ,PP. 510-519, 2009.
  27. U. Norinder, "Support vector machine in drug design: application to drug transport processes and QSAR using simplex optimisations and variables selection." *Neurocomputing*, Vol. 55, No. 1, PP. 337-346, 2003.
  28. I. Aydin, M. karakose, E. Akin, "A multi-objective artificial immune algorithm for parameter optimization in support vector machine." *Applied soft computing*, Vol. 11, No. 1, PP. 120-129, 2011.
  29. R M. Balabin, E I. Lomakina, "Support vector machine regression (SVR/LS-SVM)—an alternative to neural networks (ANN) for analytical chemistry? Comparison of nonlinear methods on near infrared (NIR) spectroscopy data." *Analyst*, vol. 136, No. 8, 1703-1712, 2011.
  30. R. Omidvar, H. Parvin, F. Rad, SSPCO Optimization Algorithm (See-See Partridge Chicks Optimization). In: Fourteenth Mexican International Conference on Artificial Intelligence (MICAI); 25-31 October: Cuernavaca, Mexico: IEEE. pp. 101-106, 2015.
  11. J. De Andrés, P. Lorca, F J.de Cos Juez, F. Sánchez-Lasheras, " Bankruptcy forecasting: A hybrid approach Fuzzy c-means clustering and Multivariate Adaptive Regression Spline (MARS)" *Expert Systems with Applications*, Vol. 38, No. 3, PP. 1866-1875, 2011.
  12. W.C. Van Beers, J P. Kleijnen, "Kriging for interpolation in random simulation." *Journal of the Operational Research Society*, Vol. 54, No. 3, PP. 255-262, 2003.
  13. J P. Kleijnen, W C. Van Beers, "Application-driven sequential designs for simulation experiments: Kriging metamodeling." *Journal of the Operationa Research Society*, Vol. 55, No. 8, PP. 876- 883, 2004.
  14. J P. Kleijnen, W C. Van Beers, "Robustness of Kriging when interpolating in random simulation with heterogeneous variances: Some experiments." *European Journal of Operational Research*, Vol. 165, No. 3, PP. 826-834, 2005.
  15. G. Meghabghab, A. Kandel, "Stochastic simulations of Web search engines: RBF versus second-order regression models." *Information Sciences*, Vol. 159, No. 1, PP. 1-28, 2004.
  16. R G. Regis, C A. Shoemaker, "Parallel radial basis function methods for the global optimization of expensive functions" *European Journal of Operational Research.*, Vol. 182, No. 2, PP. 514-535, 2007..
  17. R G. Regis, "Stochastic radial basis function algorithms for large-scale optimization involving expensive black-box objective and cconstraint functions." *Computers & Operation Research*. Vol. 38, No. 5, PP. 837-853, 2011.
  18. Z. Luo, L. Tong, Z. Kang, "A level set method for structural shape and topology optimization uses radial basis functions " *Computers and structures.*, Vol. 87, No. 7, PP. 425-434, 2009.
  19. M. Korürek, B. Doğan, "ECG beat classification using particle swarm optimization and radial basis function neural network." *Expert system with Application.*, Vol. 37, No. 12, PP. 7563-7569, 2010.
  20. D J. Fonseca, D. Navarrese, G P. Moynihan, "Simulation metamodeling through artificial neural networks." *Engineering Applications of space research*, Vol. 48, No. 9, PP. 1523-1530, 2011.